

白芷中非香豆素类成分研究

王 阳,石璠钰,卢姿含,温建牛,肖 瑞,牛梦荣,王冰冰,史社坡*

北京中医药大学中医药研究院中药现代研究中心,北京 102401

摘要:为研究临床常用中药白芷中的化学成分,本实验利用各种色谱分离技术,结合核磁共振波谱对分离得到的单体化合物进行结构鉴定,结果从白芷乙醇提取物中共鉴定出18个非香豆素类化合物,分别为甘草素(1)、柚皮素(2)、橙皮素(3)、柚皮素-7-O- β -D-吡喃葡萄糖苷(4)、橙皮素-7-O- β -D-吡喃葡萄糖苷(5)、柚皮苷(6)、新橙皮苷(7)、柚皮芸香苷(8)、3-羟基-5,6,7,8,3',4'-六甲氧基黄酮醇 3-O- β -D-吡喃葡萄糖苷(9)、开环异落叶松脂醇(10)、松脂素单甲基醚- β -D-葡萄糖苷(11)、连翘苷(12)、牛蒡子苷(13)、(-)-松脂醇-4-O- β -D-吡喃葡萄糖苷(14)、金钱草碱(15)、1-H-咪唑并[4,5-d]哒嗪-2-胺(16)、咖啡酸乙酯(17)、咖啡酸甲酯(18)。除化合物15外,其他17个化合物均为首次从白芷中分离得到,对所有化合物进行抗炎活性筛选,结果表明化合物3和18对 zymosan 诱导中性粒细胞释放超氧化物具有一定的抑制作用,IC₅₀分别为77.8±2.4 μmol/L 和 44.7±13.5 μmol/L;化合物1和18对 LPS 诱导的小鼠巨噬细胞 RAW 264.7 的 NO 产生有一定抑制活性,IC₅₀分别为44.7±4.1 μmol/L 和 94.5±1.9 μmol/L。

关键词:杭白芷;黄酮;木脂素;金钱草碱;抗炎

中图分类号:R284.2

文献标识码:A

文章编号:1001-6880(2023)10-1724-08

DOI:10.16333/j.1001-6880.2023.10.008

Non-coumarins from the roots of *Angelica dahurica* var. *formosana*

WANG Yang, SHI Fan-yu, LU Zi-han, WEN Jian-niu,
XIAO Rui, NIU Meng-rong, WANG Bing-bing, SHI She-po*

Modern Research Center for Traditional Chinese Medicine, Beijing University of Chinese Medicine, Beijing 102401, China

Abstract: The chemical constituents of the roots of *Angelica dahurica* var. *formosana* were studied by using various chromatographic techniques, and their structures were established on the basis of NMR spectra. Eighteen non-coumarins were isolated and identified from the roots of *Angelica dahurica* var. *formosana*, including liquiritigenin (1), naringenin (2), hesperetin (3), naringenin 7-O-neohesperidoside (4), hesperetin 7-O- β -D-glucopyranoside (5), naringin (6), neohesperidin (7), narirutin (8), 3-hydroxy-5,6,7,8,3',4'-hexamethoxyflavone 3-O- β -D-glucoside (9), secoisolariciresinol (10), pinoresinol monomethyl ether- β -D-glucopyranoside (11), phillyrin (12), arctiin (13), (-)-pinoresinol-4-O- β -D-glucopyranoside (14), desmodimine (15), 1-H-imidazo [4, 5-d] pyridazin-2-amine (16), caffeic acid ethyl ester (17), caffeic acid methyl ester (18). All compounds were isolated from the roots of *Angelica dahurica* var. *formosana* for the first time except desmodinine (15). Compounds 3 and 18 inhibit the release of superoxide from neutrophils induced by zymosan with IC₅₀ values of 77.8±2.4 μmol/L and 44.7±13.5 μmol/L, respectively. Compounds 1 and 18 showed inhibitory activity against the nitric oxide production in lipopolysaccharide (LPS)-stimulated RAW 264.7 macrophage cells with IC₅₀ values of 44.7±4.1 μmol/L and 94.5±1.9 μmol/L, respectively.

Key words: *Angelica dahurica* var. *formosana*; flavonoids; lignans; desmodimine; anti-inflammatory activity

白芷为伞形科植物白芷 *Angelica dahurica* (Fisch. ex Hoffm.) Benth. et Hook. f. 或杭白芷 *A. dahurica* (Fisch. ex Hoffm.) Benth. et Hook. f. var.

formosana (Boiss.) Shan et Yuan 的干燥根。味辛,性温。具有解表散寒,祛风止痛,宣通鼻窍,燥湿止带,消肿排脓的功效。临幊上用于治疗感冒头痛,眉棱骨痛,鼻塞流涕,鼻鼽,鼻渊,牙痛,带下,疮疡肿痛等^[1]。白芷为临幊常用大宗药材之一,据统计,截至目前,中成药处方数据库中收录的含有白芷的中

成药品种达到 565 个,中药方剂数据库中收录的含有白芷的方剂高达 1 836 条^[2]。为阐明其药效物质基础,学者们从白芷中分离鉴定了出一系列的香豆素类成分。此外,也有文献报道白芷中含有丰富的黄酮类成分^[3],但目前尚无从白芷中分离纯化出黄酮单体的相关报道。课题组前期在对白芷化学成分的系统研究中,发现白芷中除含有大量的香豆素类成分外,还可能含有生物碱、黄酮等非香豆素类成分,利用 LC-MS 导向分离技术,成功从白芷中发现多个结构新颖的香豆素二聚体^[4],对杭白芷乙醇提取物的大极性部位进行研究,成功分离鉴定了 16 个吡咯生物碱^[5]。本文进一步报道从白芷的水溶性部位分离鉴定的非香豆素类化合物。

1 材料与方法

1.1 仪器与材料

Autopol IV 全自动旋光仪(美国 Rudolf 公司);高效液相离子阱飞行时间质谱分析系统:UFLC SIL-20AC 自动进样器,CTO-20AC 柱温箱,SPD M20A 紫外检测器,LC-20ADX-RP 泵,IT-TOF-MS 配备 ESI 离子源(日本 Shimadzu 公司);Varian 500 核磁共振仪(美国 Varian 公司);岛津 LC-20AT 半制备型高效液相色谱仪(二极管阵列检测器,二元高压梯度泵,Labsolution 工作站,日本岛津);Waters 2998 半制备型高效液相色谱仪(美国 Waters 公司);ODS 半制备柱(SunFireTM C₁₈,150 mm × 10 mm,5 μm);Sephadex LH-20 填料(瑞典 Amerasham Biosciences 公司);ODS 柱色谱填料(Li-Chroprep RP-C₁₈,40 ~ 63 μm,德国 Merck 公司);D101 大孔树脂、柱色谱用硅胶(200 ~ 300 目)及薄层色谱用 GF₂₅₄ 硅胶预制板均为青岛海洋化工厂生产。

细菌脂多糖(LPS, *Escherichia coli*, serotype 0111:B4,美国 Sigma 公司);DMEM 培养基(美国 Hyclone 公司);DMSO(Sigma 公司);RAW 264.7 细胞株(北京大学医学部细胞中心);IMDM 培养基(CORNING 公司);胰蛋白酶(CORNING 公司,货号:25-052-CI);胎牛血清(CORNING 公司,货号:35-076-CV);红细胞裂解液(中科迈晨科技有限公司);zymosan(Sigma 公司);MCO-18AIC(UV)型 CO₂ 细胞培养箱(三洋电机国际贸易有限公司);AE2000 型倒置光学显微镜(麦克奥迪实业集团有限公司);EnSpire 型多功能酶标仪(美国 PerkinElmer 公司)。

SPF 级 C57BL/6 雌性小鼠(质量合格证编号:No. 110011201107276365)购于北京维通利华实验

动物技术有限公司(许可证号:SCXK-京 2016-0006),饲养于洁净动物房,室温 20 ~ 23 ℃,相对湿度 45% ~ 55%。本研究方案通过北京中医药大学实验动物伦理委员会审核(BUCM-4-2020052502-2005)。

白芷药材于 2019 年 12 月购自河北安国药材市场,经北京中医药大学史社坡研究员鉴定为伞形科植物杭白芷 *Angelica dahurica* (Fisch. ex Hoffm.) Benth. et Hook. f. var. *formosana* (Boiss.) Shan et Yuan 的干燥根。

1.2 提取与分离

50 kg 杭白芷,粉碎后加入 6 倍量 95% 乙醇浸泡过夜后,加热回流提取两次,每次 3 h。药渣再用 6 倍量 70% 乙醇提取 3 h,将提取液合并浓缩,得白芷总浸膏 4.2 kg。浸膏用水混悬,依次使用石油醚、乙酸乙酯进行萃取,减压回收溶剂依次得到石油醚部位提取物 450 g、乙酸乙酯部位提取物 223 g、水部位提取物 2 240 g。采用大孔树脂对水部位萃取物以 10%、20%、90% 的乙醇梯度洗脱,分别得到水洗脱部位 960 g、10% 乙醇洗脱部位 772 g、20% 乙醇洗脱部位 151 g、90% 乙醇洗脱部位 113 g。将 113 g 的 90% 乙醇洗脱部位经正相硅胶柱色谱(乙酸乙酯-甲醇 10:1 → 1:1)梯度洗脱,合并得到 4 个流分 Fr. A ~ D。Fr. A(33 g)采用硅胶柱色谱分离(石油醚-乙酸乙酯 5:1 → 1:1,二氯甲烷-甲醇 20:1 → 1:1)梯度洗脱,得到 14 个流分(Fr. A1 ~ Fr. A14),Fr. A1(1.4 g)经半制备 HPLC 分离纯化(乙腈-水,20:80)得到化合物 7(26 mg, *t_R* = 35 min)。Fr. A3(5 g)经 Sephadex LH-20(甲醇-二氯甲烷,1:1)等度洗脱,得到流分 Fr. A3a ~ Fr. A3g(230 mg),Fr. A3c(230 mg)经半制备 HPLC 分离纯化(乙腈-水,20:80)得到化合物 2(4 mg, *t_R* = 32 min)和 3(5.5 mg, *t_R* = 36 min)。Fr. A3f(330 mg)经半制备 HPLC 分离纯化(乙腈-水,25:75)得到化合物 10(3 mg, *t_R* = 16 min)。Fr. A6(4.3 g)经 Sephadex LH-20(甲醇-二氯甲烷,1:1)等度洗脱,得到 7 个流分(Fr. A6a ~ Fr. A6g),Fr. A6e(19 mg)经半制备 HPLC 分离纯化(乙腈-水,40:60)得到化合物 18(2.6 mg, *t_R* = 8 min)和 17(1.7 mg, *t_R* = 10 min)。Fr. A6f(68 mg)经半制备 HPLC 分离纯化(乙腈-水,28:72)得到化合物 11(4.9 mg, *t_R* = 12 min)、12(5.5 mg, *t_R* = 16 min)、13(6.4 mg, *t_R* = 18 min)和 9(5.5 mg, *t_R* = 26 min)。Fr. A9(5 g)经 Sephadex LH-20,甲醇等度洗脱,得到

流分 Fr. A9a ~ Fr. A9c, Fr. A9b(230 mg)经反向 ODS 柱色谱分离(甲醇-水, 10% → 50%)梯度洗脱, 得到 4 个流分(Fr. A9b1 ~ Fr. A9b4), 流分 Fr. A9b2(43 mg)经半制备 HPLC 分离纯化(乙腈-水, 27: 73)得到化合物 5(3.7 mg, $t_R = 11$ min)、14(5.4 mg, $t_R = 12.5$ min)和 4(4.9 mg, $t_R = 13$ min)。Fr. A12(5 g)经反向 ODS 柱色谱分离, 用(甲醇-水, 30% → 90%)梯度洗脱, 得到流分 Fr. A12a ~ Fr. A12d, Fr. A12b(47 mg)经半制备 HPLC 分离纯化(乙腈-水, 20: 80)得到化合物 16(1.8 mg, $t_R = 20$ min)、8(7.9 mg, $t_R = 32$ min)和 6(9.5 mg, $t_R = 40$ min)。Fr. A13(5 g)经反向 ODS 柱色谱分离, 用(甲醇-水, 30% → 90%)梯度洗脱, 得到 4 个流分(Fr. A13a ~ Fr. A13d), Fr. A13c(47 mg)经半制备 HPLC 分离纯化(乙腈-水, 38: 62)得到化合物 1(7.4 mg, $t_R = 25$ min)和 15(1.7 mg, $t_R = 48$ min)。

1.3 对 Zymosan 诱导的中性粒细胞释放超氧化物的抑制活性筛选

C57BL/6 小鼠颈椎脱臼处死, 用 75% 乙醇溶液浸泡小鼠 5 min; 取两侧股骨, 用 1 mL 注射器吸取 IMDM 培养基冲洗出骨髓细胞, 室温 300 g 离心 5 min, 弃去上清; 加 5 mL 红细胞裂解液裂解红细胞, 室温 300 g 离心 5 min, 弃去上清; 加入 5 mL 的 IMDM 清洗细胞, 室温 300 g 离心 5 min, 弃去上清; 加入 5 mL 的 IMDM 重悬细胞, 并进行细胞计数。将细胞稀释到 5×10^6 个/mL, 接种到 96 孔板中, 100 μL /孔; IMDM 对照组加 IMDM, 100 μL /孔; CO₂ 培养箱孵育 5 min。将 96 孔板各孔中加入超氧化物检测试剂, 20 μL /孔; 再加入各化合物样品溶液 40 μL /孔, 37 °C 孵育 5 min。最后加入 Zymosan 溶液 40 μL /孔, 置于培育箱孵育, 分别于 45、90、180 min 时检测 450 nm 处的吸光度, 并计算各化合物对诱导中性粒细胞超氧化物释放的抑制率^[6,7]。

1.4 对 LPS-诱导的 RAW 264.7 细胞释放 NO 的抑制活性筛选

将处于对数期的 RAW 264.7 细胞用胰酶消化, 然后利用含 10% 胎牛血清(FBS)的 DMEM 培养基终止消化, 并将细胞稀释到 3.5×10^5 个/mL, 接种到 96 孔板中, 35 000 细胞/孔, CO₂ 培养箱孵育 24 h。单体化合物配制成 25 mmol/L 或 10 mmol/L 浓度母液, 然后用培养基稀释后加入 96 孔培养板至终浓度为 100、20、4 $\mu\text{mol}/\text{L}$, 培养箱孵育 1 h, 再加入脂多糖(LPS)至终浓度为 1 $\mu\text{g}/\text{mL}$, 继续孵育 24 h。

从 96 孔板各孔中吸取 100 μL 上清至酶标板内, 每孔加入 50 μL Griess R1, 室温避光放置 5 min, 再加入 50 μL Griess R2, 室温避光放置 5 min。540 nm 测定吸光度。并计算各化合物对 NO 分泌的抑制率, 抑制率 > 50% 的计算半数抑制浓度(IC_{50})。在上述 96 孔板中加入 10 μL 的 CCK8, CO₂ 培养箱内孵育 45 min 后测定 450 nm 吸光度, 并计算化合物对 RAW 264.7 细胞生长的抑制率^[8]。

2 实验结果

2.1 结构鉴定

化合物 1 白色无定型粉末; ESI-MS: m/z 257 [M + H]⁺, 分子式为 $\text{C}_{15}\text{H}_{12}\text{O}_4$; ¹H NMR(500 MHz, DMSO-*d*₆) δ : 7.66(1H, d, $J = 8.8$ Hz, H-5), 7.31(2H, d, $J = 8.4$ Hz, H-2'/6'), 6.78(2H, d, $J = 8.4$ Hz, H-3'/5'), 6.45(1H, dd, $J = 8.8, 1.2$ Hz, H-6), 6.28(1H, d, $J = 1.2$ Hz, H-8), 5.47(1H, dd, $J = 12.8, 2.8$ Hz, H-2), 3.13(1H, dd, $J = 16.5, 12.8$ Hz, H-3b), 2.67(1H, dd, $J = 16.5, 2.8$ Hz, H-3a); ¹³C NMR(125 MHz, DMSO-*d*₆) δ : 78.3(C-2), 43.3(C-3), 189.4(C-4), 127.6(C-5), 109.5(C-6), 163.8(C-7), 102.6(C-8), 163.3(C-9), 113.2(C-10), 128.7(C-1'), 128.2(C-2'), 115.1(C-3'), 157.6(C-4'), 115.1(C-5'), 128.2(C-6')。以上数据与文献^[9]报道一致, 故鉴定化合物 1 为甘草素。

化合物 2 白色无定型粉末; ESI-MS: m/z 273 [M + H]⁺, 分子式为 $\text{C}_{15}\text{H}_{12}\text{O}_5$; ¹H NMR(500 MHz, DMSO-*d*₆) δ : 7.30(2H, d, $J = 8.5$ Hz, H-2'/6'), 6.79(2H, d, $J = 8.5$ Hz, H-3'/5'), 5.87(2H, s, H-6/8), 5.42(1H, dd, $J = 13.0, 3.0$ Hz, H-2), 3.25(1H, dd, $J = 17.0, 13.0$ Hz, H-3b), 2.66(1H, dd, $J = 17.0, 3.0$ Hz, H-3a); ¹³C NMR(125 MHz, DMSO-*d*₆) δ : 78.5(C-2), 42.0(C-3), 196.3(C-4), 163.6(C-5), 95.9(C-6), 167.2(C-7), 95.1(C-8), 163.0(C-9), 101.7(C-10), 128.9(C-1'), 128.4(C-2'), 115.2(C-3'), 157.8(C-4'), 115.2(C-5'), 128.4(C-6')。以上数据与文献^[10]报道一致, 故鉴定化合物 2 为柚皮素。

化合物 3 白色无定型粉末; ESI-MS: m/z 287 [M + H]⁺, 分子式为 $\text{C}_{16}\text{H}_{14}\text{O}_5$; ¹H NMR(500 MHz, CD₃OD) δ : 6.89 ~ 6.95(3H, overlap, H-2', H-5', H-6'), 5.90(2H, d, $J = 2.2$ Hz, H-6/8), 5.32(1H, dd, $J = 12.6, 3.1$ Hz, H-2), 3.86(3H, s, 4'-OCH₃), 3.05(1H, dd, $J = 17.1, 12.6$ Hz, H-3b), 2.73(1H, dd, $J = 17.1, 3.1$ Hz, H-3a); ¹³C NMR(125 MHz, CD₃OD)

δ :80.3(C-2),44.1(C-3),197.6(C-4),165.4(C-5),97.2(C-6),168.6(C-7),96.3(C-8),164.7(C-9),103.3(C-10),133.2(C-1'),114.5(C-2'),149.3(C-3'),147.8(C-4'),112.6(C-5'),119.0(C-6'),56.4(4'-OCH₃)。以上数据与文献^[11]报道一致,故鉴定化合物3为橙皮素。

化合物4 白色无定型粉末;ESI-MS:*m/z* 435 [M + H]⁺,分子式为C₂₁H₂₂O₁₀;¹H NMR(500 MHz, DMSO-*d*₆) δ :12.06(1H,s,5-OH),9.72(1H,s,4'-OH),7.33(2H,d,*J*=8.5 Hz,H-2'/6'),6.80(1H,d,*J*=8.5 Hz,H-3'/5'),6.15(1H,d,*J*=2.0 Hz,H-8),6.13(1H,d,*J*=2.0 Hz,H-6),5.50(1H,dd,*J*=12.5,2.9 Hz,H-2),5.49(1H,d,*J*=12.5 Hz,2"-OH),5.40(1H,m,6"-OH),5.17(1H,d,*J*=5.0 Hz,3"-OH),5.10(1H,d,*J*=5.0 Hz,4"-OH),4.97(1H,d,*J*=7.5 Hz,H-1'),3.66(1H,d,*J*=11.0 Hz,H-6'a),3.43(1H,dd,*J*=10.5,5.5 Hz,H-6'b),3.30(1H,dd,*J*=17.0,12.5 Hz,H-3b),3.11~3.18(4H,overlap,H-2",H-3",H-4",H-5"),2.70(1H,dd,*J*=17.0,2.9 Hz,H-3a);¹³C NMR(125 MHz,DMSO-*d*₆) δ :78.8(C-2),42.2(C-3),197.4(C-4),163.1(C-5),96.6(C-6),165.4(C-7),95.6(C-8),162.9(C-9),103.4(C-10),140.2(C-1'),128.6(C-2'),115.3(C-3'),158.0(C-4'),115.3(C-5'),128.6(C-6'),99.7(C-1"),73.2(C-2"),76.5(C-3"),69.6(C-4"),77.2(C-5"),60.7(C-6")。以上数据与文献^[12]报道一致,故鉴定化合物4为柚皮素-7-*O*- β -D-吡喃葡萄糖苷。

化合物5 黄色粉末;ESI-MS:*m/z* 465 [M + H]⁺,分子式为C₂₂H₂₄O₁₁;¹H NMR(500 MHz, DMSO-*d*₆) δ :6.93(1H,d,*J*=9.0 Hz,H-5'),6.93(1H,d,*J*=1.8 Hz,H-2'),6.89(1H,dd,*J*=9.0,1.8 Hz,H-6'),6.16(1H,d,*J*=2.4 Hz,H-8),6.13(1H,d,*J*=2.4 Hz,H-6),5.49(1H,dd,*J*=13.0,2.5 Hz,H-2),4.97(1H,d,*J*=7.8 Hz,H-1'),3.77(3H,s,3'-OCH₃),3.67(1H,dd,*J*=10.0,4.0 Hz,H-6'a),3.42(1H,m,H-6'b),3.38(1H,dd,*J*=17.2,13.0 Hz,H-3b),3.10~3.39(4H,overlap,H-2",3",4",5"),2.76(1H,dd,*J*=17.2,2.5 Hz,H-3a);¹³C NMR(125 MHz,DMSO-*d*₆) δ :78.5(C-2),42.2(C-3),197.0(C-4),162.9(C-5),96.5(C-6),165.2(C-7),95.5(C-8),162.6(C-9),103.3(C-10),130.9(C-1'),114.1(C-2'),146.5(C-3'),148.0(C-4'),112.0(C-5'),

117.8(C-6'),99.6(C-1"),73.0(C-2"),76.3(C-3"),69.5(C-4"),77.1(C-5"),60.6(C-6"),55.7(5'-OCH₃)。以上数据与文献^[13]报道一致,故鉴定化合物5为橙皮素-7-*O*- β -D-吡喃葡萄糖苷。

化合物6 白色无定型粉末;ESI-MS:*m/z* 581 [M + H]⁺,分子式为C₂₇H₃₂O₁₄;¹H NMR(500 MHz, DMSO-*d*₆) δ :7.33(2H,d,*J*=8.0 Hz,H-2'/6'),6.83(2H,d,*J*=8.0 Hz,H-3'/5'),6.18(1H,d,*J*=2.2 Hz,H-8),6.17(1H,d,*J*=2.2 Hz,H-6),5.37(1H,dd,*J*=11.6,2.7 Hz,H-2),5.26(1H,d,*J*=4.5 Hz,H-1"),5.10(1H,br s,H-1'''),3.92(1H,d,*J*=13.5 Hz,H-6'a),3.86(1H,d,*J*=8.5 Hz,H-6'b),3.33~3.96(8H,overlap,H-2",H-3",H-4",H-5",H-2''',H-3''',H-4''',H-5'''),3.16(1H,dd,*J*=16.0,11.6 Hz,H-3b),2.74(1H,dd,*J*=16.0,2.7 Hz,H-3a),1.30(3H,d,*J*=8.0 Hz,H-6''');¹³C NMR(125 MHz,DMSO-*d*₆) δ :80.7(C-2),44.0(C-3),198.5(C-4),166.5(C-5),98.0(C-6),166.6(C-7),96.7(C-8),164.6(C-9),105.0(C-10),130.8(C-1'),129.2(C-2'),116.4(C-3'),159.1(C-4'),116.4(C-5'),129.2(C-6'),102.5(C-1"),79.2(C-2"),78.9(C-3"),70.0(C-4"),78.1(C-5"),62.2(C-6"),99.3(C-1'''),72.1(C-2'''),71.2(C-3'''),73.9(C-4'''),69.6(C-5'''),18.2(C-6''')。以上数据与文献^[14]报道一致,故鉴定化合物6为柚皮苷。

化合物7 白色无定型粉末;ESI-MS:*m/z* 611 [M + H]⁺,分子式为C₂₈H₃₄O₁₅;¹H NMR(500 MHz, DMSO-*d*₆) δ :12.05(1H,s,5-OH),9.15(1H,s,3'-OH),6.93(1H,d,*J*=8.4 Hz,H-5'),6.89(1H,d,*J*=2.6 Hz,H-2'),6.87(1H,dd,*J*=8.4,2.6 Hz,H-6'),6.11(1H,br s,H-8),6.09(1H,br s,H-6),5.53(1H,br d,*J*=12.5 Hz,H-2),5.16(1H,d,*J*=8.0 Hz,H-1"),4.69(1H,d,*J*=2.0 Hz,H-1'''),3.77(3H,s,4'-OCH₃),3.15~3.52(10H,overlap,H-2",3",4",5",6",2'',3'',4'',5''),3.17(1H,dd,*J*=18.0,12.5 Hz,H-3b),2.78(1H,br d,*J*=18.0 Hz,H-3a),1.16(3H,d,*J*=6.0 Hz,H-6''');¹³C NMR(125 MHz,DMSO-*d*₆) δ :78.5(C-2),42.2(C-3),197.1(C-4),163.0(C-5),96.3(C-6),164.9(C-7),95.2(C-8),162.6(C-9),103.4(C-10),131.0(C-1'),114.2(C-2'),146.5(C-3'),148.0(C-4'),112.0(C-5'),117.9(C-6'),100.4(C-1'),76.1(C-2'),77.2(C-3"),69.6(C-4"),77.0(C-5"),60.4(C-

6"), 97.4(C-1''), 70.3(C-2''), 70.5(C-3''), 71.9(C-4''), 68.3(C-5''), 18.1(C-6''), 55.7(4'-OCH₃)。以上数据与文献^[15]报道一致,故鉴定化合物7为新橙皮苷。

化合物8 黄色粉末; ESI-MS: *m/z* 581 [M + H]⁺, 分子式为 C₂₇H₃₂O₁₄; ¹H NMR (500 MHz, CD₃OD) δ: 7.27(2H, d, *J* = 8.0 Hz, H-2'/6'), 6.86(2H, d, *J* = 8.0 Hz, H-3'/5'), 6.23(1H, d, *J* = 1.5 Hz, H-8), 6.21(1H, d, *J* = 1.5 Hz, H-6), 5.43(1H, dd, *J* = 14.5, 3.5 Hz, H-2), 4.98(1H, t, *J* = 7.5 Hz, H-1''), 4.73(1H, br s, H-1'''), 4.01(1H, d, *J* = 13.0 Hz, H-6''a), 3.91(1H, d, *J* = 10.5 Hz, H-6''b), 3.33 ~ 3.73(8H, overlap, H-2'', H-3'', H-4'', H-5'', H-2'', H-3'', H-4'', H-5''), 3.20(1H, dd, *J* = 16.0, 14.5 Hz, H-3b), 2.79(1H, dd, *J* = 16.0, 3.5 Hz, H-3a), 1.13(3H, d, *J* = 6.0 Hz, H-6'''); ¹³C NMR (125 MHz, CD₃OD) δ: 80.6(C-2), 44.1(C-3), 198.5(C-4), 164.5(C-5), 98.0(C-6), 166.9(C-7), 97.1(C-8), 164.5(C-9), 105.0(C-10), 129.1(C-1'), 130.9(C-2'), 116.4(C-3'), 159.1(C-4'), 116.4(C-5'), 130.9(C-6'), 101.7(C-1''), 74.7(C-2''), 77.9(C-3''), 71.3(C-4''), 77.1(C-5''), 67.4(C-6''), 102.1(C-1'''), 72.1(C-2'''), 72.4(C-3'''), 74.1(C-4'''), 69.8(C-5'''), 17.9(C-6''')。以上数据与文献^[16]报道一致,故鉴定化合物8为柚皮芸香苷。

化合物9 白色无定型粉末; ESI-MS: *m/z* 581 [M + H]⁺, 分子式为 C₂₇H₃₂O₁₄; ¹H NMR (500 MHz, DMSO-*d*₆) δ: 7.94(1H, d, *J* = 2.0 Hz, H-2'), 7.66(1H, dd, *J* = 8.8, 2.0 Hz, H-6'), 7.16(1H, d, *J* = 8.8 Hz, H-5'), 5.50(1H, d, *J* = 9.5 Hz, H-1''), 4.02(3H, s, 7-OCH₃), 3.90(3H, s, 8-OCH₃), 3.85(3H, s, 6-OCH₃), 3.84(3H, s, 5-OCH₃), 3.82(3H, s, 4'-OCH₃), 3.80(3H, s, 3'-OCH₃), 3.56(2H, m, H-6''), 3.08 ~ 3.56(4H, overlap, H-2'', 3'', 4'', 5''); ¹³C NMR (125 MHz, DMSO-*d*₆) δ: 153.4(C-2), 135.4(C-3), 172.1(C-4), 148.0(C-5), 143.4(C-6), 151.0(C-7), 135.3(C-8), 143.4(C-9), 114.3(C-10), 127.4(C-1'), 121.3(C-2'), 112.4(C-3'), 147.3(C-4'), 147.9(C-5'), 111.4(C-6'), 100.5(C-1'), 69.8(C-2''), 76.6(C-3''), 74.3(C-4''), 77.6(C-5''), 60.6(C-6''), 61.8(5-OCH₃), 61.9(6-OCH₃), 61.5(7-OCH₃), 61.4(8-OCH₃), 55.6(3'-OCH₃), 55.5(4'-OCH₃)。以上数据与文献^[17]报道一致,故鉴定化合

物9为3-羟基-5,6,7,8,3',4'-六甲氧基黄酮醇3-*O*-*β*-D-吡喃葡萄糖苷。

化合物10 白色晶体(MeOH); ESI-MS: *m/z* 363 [M + H]⁺, 分子式为 C₂₀H₂₆O₆; ¹H NMR (500 MHz, DMSO-*d*₆) δ: 6.50(2H, m, H-2/3'), 6.62(2H, d, *J* = 1.5 Hz, H-5/5'), 3.68(4H, br s, H-9/9'), 3.68(6H, s, 4-OCH₃/4'-OCH₃), 2.44 ~ 2.54(4H, overlap, H-7a/7'a/7b/7'b), 1.81(2H, m, H-8/8'); ¹³C NMR (125 MHz, DMSO-*d*₆) δ: 121.4(C-1, 1'), 115.3(C-2, 2'), 144.5(C-3, 3'), 147.5(C-4, 4'), 113.1(C-5, 5'), 132.4(C-6, 6'), 34.1(C-7, 7'), 42.7(C-8, 8'), 60.4(C-9, 9'), 55.6(4, 4'-OCH₃)。以上数据与文献^[18]报道一致,故鉴定化合物10为开环异落叶松脂醇。

化合物11 白色粉末; +7.3(*c* 0.1, MeOH); ESI-MS: *m/z* 535 [M + H]⁺, 分子式为 C₂₇H₃₄O₁₁; ¹H NMR (500 MHz, DMSO-*d*₆) δ: 6.91(2H, d, *J* = 2.0 Hz, H-2/2'), 6.90(2H, d, *J* = 8.4 Hz, H-5/5'), 6.85(2H, dd, *J* = 8.4, 2.0 Hz, H-6/6'), 5.10(1H, t, *J* = 5.8 Hz, H-9'b), 5.03(1H, br s, H-9'a), 4.87(1H, d, *J* = 8.5 Hz, H-1''), 4.66(1H, d, *J* = 7.2 Hz, H-7'), 4.64(1H, d, *J* = 7.2 Hz, H-7), 4.53(1H, t, *J* = 5.8 Hz, H-9b), 4.14(1H, m, H-9a), 3.76(3H, s, 4'-OCH₃), 3.74(3H, s, 3'-OCH₃), 3.72(3H, s, 4-OCH₃), 3.63(1H, dd, *J* = 12.5, 6.0 Hz, H-6''a), 3.42(1H, dd, *J* = 14.5, 7.5 Hz, H-6''b), 3.04(2H, m, H-8/8'), 3.04 ~ 3.28(4H, overlap, H-2'', 3'', 4'', 5''); ¹³C NMR (125 MHz, DMSO-*d*₆) δ: 135.2(C-1), 110.5(C-2), 148.8(C-3), 145.9(C-4), 115.1(C-5), 118.2(C-6), 85.0(C-7), 53.7(C-8), 71.0(C-9), 133.8(C-1'), 109.9(C-2'), 148.8(C-3'), 148.2(C-4'), 111.6(C-5'), 118.1(C-6'), 84.9(C-7'), 53.7(C-8'), 71.0(C-9'), 100.1(C-1'), 73.2(C-2''), 76.9(C-3''), 69.7(C-4''), 77.1(C-5''), 60.7(C-6''), 55.7(4-OCH₃), 55.5(3'-OCH₃), 55.6(4'-OCH₃)。以上数据与文献^[19]报道一致,故鉴定化合物11为松脂素单甲基醚-*β*-D-葡萄糖苷。

化合物12 无色针晶(MeOH); +43(*c* 0.1, MeOH); ESI-MS: *m/z* 535 [M + H]⁺; 分子式为 C₂₇H₃₄O₁₁; ¹H NMR (500 MHz, DMSO-*d*₆) δ: 7.04(1H, d, *J* = 8.4 Hz, H-5), 6.96(1H, d, *J* = 1.6 Hz, H-2), 6.93(1H, d, *J* = 1.6 Hz, H-2'), 6.92(1H, d, *J* = 8.4 Hz, H-5'), 6.85 ~ 6.89(2H, overlap, H-6/6'), 5.12

(1H, br s, H-9'b), 5.04(1H, d, J =6.5 Hz, H-9'a), 4.88(1H, d, J =7.2 Hz, H-1''), 4.80(1H, d, J =6.0 Hz, H-7'), 4.55(1H, d, J =5.5 Hz, H-9b), 4.37(1H, d, J =6.8 Hz, H-7), 4.10(1H, d, J =9.2 Hz, H-9a), 3.77(3H, s, 4'-OCH₃), 3.76(3H, s, 3'-OCH₃), 3.74(3H, s, 3-OCH₃,), 3.66(1H, dd, J =10.4, 4.8 Hz, H-6'a), 3.45(1H, dd, J =11.5, 6.0 Hz, H-6'b), 3.06~3.30(4H, overlap, H-2'', 3'', 4'', 5''), 2.83(1H, m, H-8); ¹³C NMR(125 MHz, DMSO-d₆) δ : 135.5(C-1), 110.6(C-2), 149.1(C-3), 146.1(C-4), 115.4(C-5), 118.4(C-6), 86.9(C-7), 54.3(C-8), 70.5(C-9), 131.4(C-1'), 109.6(C-2'), 148.7(C-3'), 147.8(C-4'), 111.7(C-5'), 117.8(C-6'), 81.5(C-7'), 49.6(C-8'), 69.2(C-9'), 100.3(C-1''), 73.5(C-2''), 77.3(C-3''), 69.9(C-4''), 77.1(C-5''), 60.9(C-6''), 55.9(4-OCH₃), 55.7(3'-OCH₃), 55.7(4'-OCH₃)。以上数据与文献^[20]报道一致, 故鉴定化合物**12**为连翘苷。

化合物13 白色粉末; ESI-MS: m/z 535 [M+H]⁺, 分子式为 C₂₇H₃₄O₁₁; ¹H NMR(500 MHz, DMSO-d₆) δ : 6.99(1H, d, J =8.4 Hz, H-5'), 6.84(1H, d, J =8.4 Hz, H-5), 6.78(1H, d, J =2.0 Hz, H-2'), 6.67(1H, dd, J =8.4, 2.0 Hz, H-6'), 6.66(1H, d, J =2.0 Hz, H-2), 6.62(1H, dd, J =8.4, 2.0 Hz, H-6), 4.85(1H, d, J =7.2 Hz, H-1''), 4.09(1H, t, J =7.6 Hz, H-9'a), 3.88(1H, t, J =8.4 Hz, H-9'b), 3.70(9H, s, 3-OCH₃/3'-OCH₃/4'-OCH₃), 3.63(1H, dd, J =12.5, 6.5 Hz, H-6'a), 3.42(1H, dd, J =14.5, 7.0 Hz, H-6'b), 3.11~3.40(4H, overlap, H-2'', 3'', 4'', 5''), 2.81(1H, dd, J =13.2, 4.4 Hz, H-7a), 2.74(1H, dd, J =13.2, 4.4 Hz, H-7b), 2.55(1H, m, H-7'a), 2.51(1H, m, H-8), 2.47(1H, m, H-7'b), 2.42(1H, m, H-8'); ¹³C NMR(125 MHz, DMSO-d₆) δ : 131.4(C-1), 112.6(C-2), 148.8(C-3), 145.5(C-4), 112.0(C-5), 121.5(C-6), 33.7(C-7), 45.8(C-8), 178.7(C-9), 132.0(C-1'), 114.0(C-2'), 148.8(C-3'), 147.5(C-4'), 115.3(C-5'), 120.6(C-6'), 37.1(C-7'), 41.0(C-8'), 70.9(C-9'), 100.4(C-1''), 73.4(C-2''), 77.2(C-3''), 69.9(C-4''), 77.1(C-5''), 60.9(C-6''), 55.6(4-OCH₃), 55.7(3'-OCH₃), 55.8(4'-OCH₃)。以上数据与文献^[21]报道一致, 故鉴定化合物**13**为牛蒡子苷。

化合物14 白色粉末; ESI-MS: m/z 521 [M+

H]⁺, 分子式为 C₂₆H₃₂O₁₁; ¹H NMR(500 MHz, DMSO-d₆) δ : 7.04(1H, d, J =8.5 Hz, H-5), 6.95(1H, d, J =1.5 Hz, H-2), 6.89(1H, d, J =4.0 Hz, H-5'), 6.85(1H, dd, J =8.5, 2.0 Hz, H-6), 6.75(1H, dd, J =8.5, 2.0 Hz, H-6'), 6.72(1H, d, J =1.5 Hz, H-2'), 5.11(1H, d, J =4.0 Hz, H-9'b), 5.04(1H, d, J =5.2 Hz, H-9'a), 4.88(1H, d, J =7.5 Hz, H-1''), 4.67(1H, d, J =4.0 Hz, H-7), 4.61(1H, d, J =4.5 Hz, H-7'), 4.55(1H, d, J =5.5 Hz, H-9b), 4.12(1H, m, H-9a), 3.77(3H, s, 3-OCH₃), 3.76(3H, s, 3'-OCH₃), 3.65(1H, m, H-6'a), 3.45(1H, m, H-6'b), 3.24~3.31(4H, overlap, H-2'', 3'', 4'', 5''), 3.04(2H, m, H-8/8'); ¹³C NMR(125 MHz, DMSO-d₆) δ : 135.2(C-1), 110.6(C-2), 145.9(C-3), 147.5(C-4), 115.2(C-5), 118.7(C-6), 85.2(C-7), 53.7(C-8), 71.0(C-9), 132.2(C-1'), 110.4(C-2'), 145.8(C-3'), 148.9(C-4'), 115.1(C-5'), 118.1(C-6'), 84.9(C-7'), 53.6(C-8'), 70.9(C-9'), 100.2(C-1''), 73.2(C-2''), 77.0(C-3''), 69.7(C-4''), 76.9(C-5''), 60.7(C-6''), 55.7(3-OCH₃), 55.6(3'-OCH₃)。以上数据与文献^[22]报道一致, 故鉴定化合物**14**为(-)-松脂醇-4-O- β -D-吡喃葡萄糖苷。

化合物15 无色胶状; ESI-MS: m/z 238 [M+H]⁺, 分子式为 C₁₂H₁₅NO₄; ¹H NMR(500 MHz, CD₃OD) δ : 9.33(1H, s, CHO), 7.15(1H, d, J =3.5 Hz, H-3), 6.34(1H, d, J =3.5 Hz, H-4), 5.22(1H, d, J =11.4 Hz, H-6), 4.65(2H, s, H-11), 4.34(1H, dd, J =8.0, 5.5 Hz, H-8), 2.66(1H, m, H-7), 1.56(3H, d, J =5.0 Hz, H-9), 1.14(3H, d, J =5.5 Hz, H-10); ¹³C NMR(125 MHz, CD₃OD) δ : 180.2(C-1), 133.3(C-2), 128.2(C-3), 111.7(C-4), 146.1(C-5), 63.7(C-6), 45.1(C-7), 82.1(C-8), 18.6(C-9), 14.5(C-10), 56.6(C-11), 174.5(C-12)。以上数据与文献^[23]报道一致, 故鉴定化合物**15**为金钱草碱。

化合物16 无色胶状; ESI-MS: m/z 136 [M+H]⁺, 分子式为 C₅H₅N₅; ¹H NMR(500 MHz, DMSO-d₆) δ : 12.75(1H, s, NH), 8.09(2H, s, H-3/6), 7.03(2H, s, NH); ¹³C NMR(125 MHz, DMSO-d₆) δ : 152.2(C-3/6), 139.8(C-4/5), 155.2(C-8)。以上数据与文献^[24]报道一致, 故鉴定化合物**16**为1-H-咪唑并[4,5-d]哒嗪-2-胺。

化合物17 无色胶状; ESI-MS: m/z 209 [M+H]⁺, 分子式为 C₁₁H₁₂O₄; ¹H NMR(500 MHz, DM-

*SO-d₆)δ:7.48(1H,d,J=16.0 Hz,H-7),7.04(1H,br s,H-2),7.00(1H,d,J=8.0 Hz,H-6),6.79(1H,d,J=8.0 Hz,H-5),6.27(1H,d,J=16.0 Hz,H-8),4.15(2H,q,J=6.4 Hz,H-10),1.23(3H,t,J=6.4 Hz,H-11);¹³C NMR(125 MHz,DMSO-*d₆*)δ:125.5(C-1),114.0(C-2),145.0(C-3),148.4(C-4),115.7(C-5),121.4(C-6),145.6(C-7),114.8(C-8),166.5(C-9),59.7(C-10),14.3(C-11)。以上数据与文献^[25]报道一致,故鉴定化合物17为咖啡酸乙酯。*

化合物18 无色胶状;ESI-MS:*m/z* 136 [M +

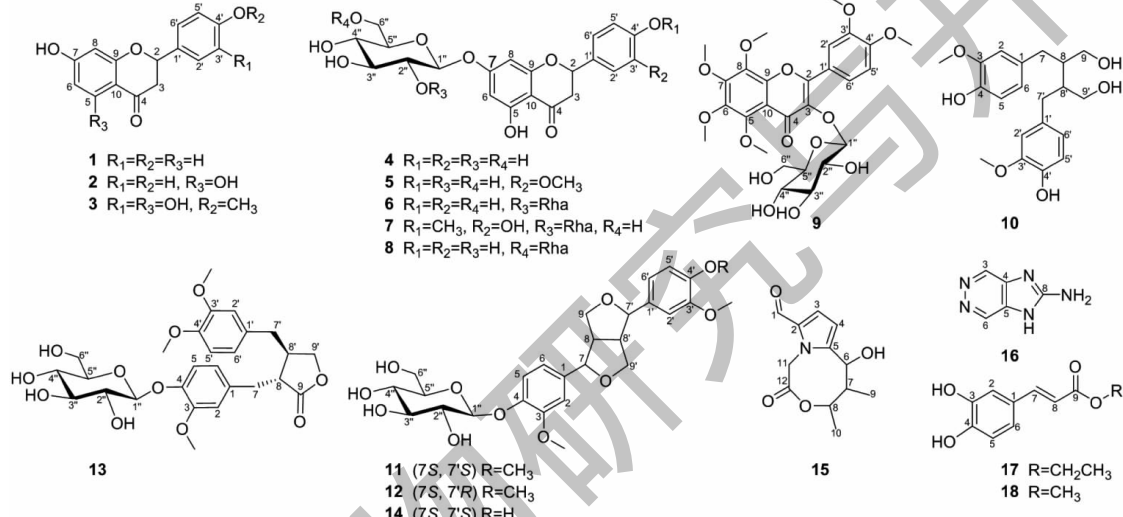


图1 化合物1~18的化学结构
Fig. 1 Chemical structures of compounds 1-18

2.2 活性测定

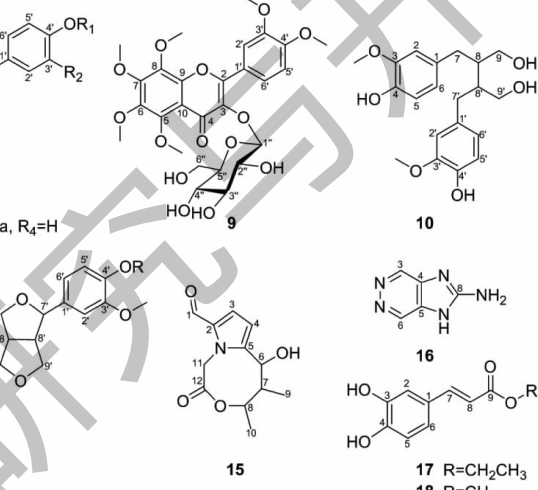
对上述18个化合物进行活性筛选,结果表明化合物3和18对zymosan诱导中性粒细胞释放超氧化物具有一定的抑制作用,IC₅₀为77.8±2.4 μmol/L,44.7±13.5 μmol/L(阳性对照药为PLC inhibitor U73122,IC₅₀为4.00±0.24 μmol/L)。化合物1和18具有抑制RAW 264.7细胞释放NO活性,IC₅₀分别为44.7±4.1,94.5±1.9 μmol/L(阳性对照吲哚美辛IC₅₀为39.0±13.8 μmol/L)。

3 讨论与结论

文献中有关白芷化学成分的研究,普遍认为白芷中的化学成分主要为香豆素类成分,而关于白芷中非香豆素类成分的报道很少。Lu等^[23]曾从白芷中分离鉴定出一个吡咯型生物碱金钱草碱,我们课题组在对白芷的系统研究中,除了分离得到大量的香豆素及香豆素二聚体外,也从白芷中分离得到16

H]⁺,分子式为C₅H₅N₅;¹H NMR(500 MHz,DMSO-*d₆*)δ:7.48(1H,d,J=16.0 Hz,H-7),7.03(1H,d,J=8.0 Hz,H-6),6.94(1H,br s,H-2),6.78(1H,d,J=8.0 Hz,H-5),6.31(1H,d,J=16.0 Hz,H-8),3.73(3H,s,H-10);¹³C NMR(125 MHz,DMSO-*d₆*)δ:126.5(C-1),115.0(C-2),145.6(C-3),148.7(C-4),115.4(C-5),122.3(C-6),145.3(C-7),114.7(C-8),166.5(C-9),52.0(C-10)。以上数据与文献^[26]报道一致,故鉴定化合物18为咖啡酸甲酯。

化合物1~18的结构见图1。



个吡咯生物碱^[5],丰富了对白芷化学成分的认识。在对白芷化学成分的进一步研究中,意外地分离得到了本文中报道的18个非香豆素类成分,除前人已经报道的金钱草碱外,其他17个非香豆素类成分包括9个黄酮、5个木脂素、2个简单酚酸酯和1-H-咪唑并[4,5-d]哒嗪-2-胺均为首次从白芷中分离得到。其中化合物3和18对zymosan诱导中性粒细胞释放超氧化物具有一定的抑制作用,化合物1和18具有抑制RAW 264.7细胞释放NO活性。值得注意的是,虽然已有多篇文献报道白芷中含有黄酮类成分^[3],但均是对总黄酮类成分含量测定的初步报道,目前尚无任何文献从白芷中分离出单体黄酮类成分的报道,而本研究中从白芷中首次得到多个黄酮及黄酮苷单体,这种结果令我们感到非常意外,曾怀疑是否是药材的问题,但进一步利用LC-MS对杭白芷、川白芷、禹白芷三个不同产地的白芷药材进

行初步分析,发现不同产地的白芷中能够检出本文中分离报道的化合物**1**、**6**、**7** 和 **8**,这说明白芷中确实可能含有黄酮。该研究结果丰富了对白芷化学成分的认识,为白芷质量控制和开发利用提供重要参考。

参考文献

- 1 Chinese Pharmacopoeia Commission. Pharmacopoeia of the People's Republic of China: Vol I (中华人民共和国药典:第一部) [M]. Beijing: China Medical Science Press, 2020: 109.
- 2 Wu YY, Jiang GH, Ma YY, et al. Research advancement on pharmacological effect of Radix Angelicae Dahuricae [J]. Lishizhen Med Mater Med Res(时珍国医国药), 2009, 20: 625-627.
- 3 Wang R, Liu J, Yang DY, et al. Research progress in chemical constituents and pharmacological action of *Angelica dahurica*[J]. Inf Tradit Chin Med(中医药信息), 2020, 37:123-128.
- 4 Yang WQ, Zhu ZX, Song YL, et al. Dimeric furanocoumarins from the roots of *Angelica dahurica*[J]. Nat Prod Res, 2017, 31:870-877.
- 5 Qi BW, Yang WQ, Ding N, et al. Pyrrole 2-carbaldehyde derived alkaloids from the roots of *Angelica dahurica*[J]. J Nat Med, 2019, 73:769-776.
- 6 Guo R, Yan ZP, Liao HJ, et al. Ibrutinib suppresses the activation of neutrophils and macrophages and exerts therapeutic effect on acute peritonitis induced by zymosan[J]. Int Immunopharmacol, 2022, 113:109469.
- 7 Zhu ZX, Guo R, Li YQ, et al. Comparison of three analytical methods for superoxide produced by activated immune cells [J]. J Pharmacol Toxicol Methods, 2020, 101:106637.
- 8 Wang HQ, Liu YN, Lu XY, et al. Study on active constituents from Glycyrrhizae Radix et Rhizoma against NO production in LPS-induced RAW 264.7 macrophages[J]. Chin Tradit Herb Drugs(中草药), 2016, 47:4155-4159.
- 9 Sun JW, Zhao MB, Liang H, et al. Isolation and identification of flavonoids from Baoyuan Decoction[J]. Chin Tradit Herb Drugs(中草药), 2010, 41:696-700.
- 10 Liu YP. Study on the preparation method of naringenin[J]. Chin J Spectrosc Lab(光谱实验室), 2008, 25:1292-1294.
- 11 Duan CC, Li CB, Zhang XJ, et al. A Study on hesperidin and naringin from *Pteris multifida* Poir[J]. J Dalian Minzu Univ(大连民族大学学报), 2021, 23:214-217.
- 12 Sun LJ, Hu XF, Cheng X, et al. NMR characterization of flavenone naringenin 7-O-glycoside diastereomer [J]. Chin J Mag Res(波谱学杂志), 2017, 34:465-473.
- 13 Wang YJ, Yang XW, Guo QS, et al. Studies on chemical constituents in Huangjuhua[J]. China J Chin Mater Med(中国中药杂志), 2008;526-530.
- 14 A Li Mu GLMR, Shen HT, Guo H, et al. Chemical constituents from *Rubus caesius* and their inhibitory activities on PTP1B[J]. Chin Tradit Herb Drugs(中草药), 2017, 48: 448-452.
- 15 Liu Q, Zuo YM, Yan H, et al. Chemical constituents of flavonoids from *Citrus aurantium* var. *amara*[J]. J Chin Med Mater(中药材), 2019, 42:2565-2569.
- 16 Qiao L, Wang ZQ, Meng ZH, et al. Study of chemical components from Qili Qiangxin Capsule(I)[J]. Chin Arch Tradit Chin Med(中华中医药学刊), 2013, 31:1240-1242.
- 17 Wang QA, Wu J, Liu L, et al. Synthesis of citrus bioactive polymethoxyflavonoids and flavonoid glucosides[J]. Chin J Org Chem(有机化学), 2010, 30:1682-1688.
- 18 Ouyang L, Zhou LG, Zhou GP, et al. Chemical constituents from ethyl acetate extract of *Pyrrosia petiolaris* [J]. J Chin Med Mater(中药材), 2021, 44:1884-1888.
- 19 Feng XR, Li XB, LUU TTT, et al. Liposoluble constituents of *Urticae Rhizoma*[J]. Chin Pharm J(中国药学杂志), 2017, 52:1217-1222.
- 20 Liu JP, Jia WN, Li D, et al. Chemical constituents from the raw material of Lianhua-Qinwen Capsule[J]. Nat Prod Res Dev(天然产物研究与开发), 2015, 27:1887-1891.
- 21 Zhang ZL, Zuo YM, Li YY, et al. Chemical constituents of Eucommiae Folium II [J]. Chin J Exp Tradit Med Form(中国实验方剂学杂志), 2014, 20:118-120.
- 22 Su J, Wu ZJ, Shen YH, et al. Lignans from *Daphne giraldii* [J]. Chem Nat Compd, 2008, 44:648-650.
- 23 Lu J, Jin L, Jin YS, et al. Chemical constituents in roots of *Angelica dahurica* var. *formosana* [J]. Acad J Second Mil Med Univ(第二军医大学学报), 2007, 28:294-298.
- 24 Bouaicha N, Amade P, Puel D, et al. Zarzissine, a new cytotoxic guanidine alkaloid from the Mediterranean sponge *Anchinoe paupertas*[J]. J Nat Prod, 1994, 57:1455-1457.
- 25 Zhang CF, Shen S, Song LQ, et al. Chemical components from Lianhua Qingwen Capsules(II)[J]. Chin Tradit Herb Drugs(中草药), 2018, 49:3222-3225.
- 26 Su J, Feng Y, Lin BF, et al. Isolation and identification of chemical constituents from *Acanthopanax senticosus*[J]. Chin Tradit Herb Drugs(中草药), 2021, 52:4783-4788.